

**Research Paper**

## **Assessment and Evaluation of Urban Resilience against Earthquake Risk Using Integration of ANP and OWA Model (Case Study: Germi City)**

**Aghil Madadi<sup>1</sup>, Elnaz Piroozi<sup>2</sup>, Zahra Amini<sup>3</sup>**

1. professor of Geomorphology, University of Mohaghegh Ardabili, Ardabil, Iran

2. Ph.D. of Geomorphology, University of Mohaghegh Ardabili, Ardabil, Iran

3. MS.c of Geography and Urban Planning, University of Mohaghegh Ardabili, Ardabil, Iran

**Received:** ۲۷ May 2020

**Accepted:** 25 September 2020

**PP:**210-226

**Use your device to scan and read the article online**



### **Abstract**

At present, following the growth of urbanization and the increase in natural disasters, the study and measurement of the resilience of human and natural systems in achieving sustainable development are of particular importance. Accordingly, the present study seeks to measure and evaluate the resilience of Germi city environment against earthquake risk. In this study, by taking into account the natural, physical and accessible structures involved in reducing the effects of an earthquake in the form of 15 indicators, the resilience of Germi city against earthquake is discussed. Then, the information layers were prepared by the geographic information system and in the next step, the weighting of the studied factors was done using the network analysis process (ANP) in the Super Decision software environment and the final modeling was done using the ordinal weighted average (OWA) method. The results indicate that 11/70 % of the study area has quite good resilience and 24.17% of the area has quite inappropriate. Moderate and relatively appropriate resilience percentages are 25 %, 25.84 %, and 13.29 %, respectively. In general, it can be said that the southern, southwestern parts and the northeastern city of Germi have relatively inappropriate conditions regarding resilience, whereas construction in the northern and northwestern parts of the city are in better condition. According to the final map, the city of Germi is not in a good position in terms of earthquakes resistance, and it has a kind of medium to low status.

### **Keywords:**

Risks; Physical; Access;  
Weighting; MCDM.

**Citation:** Aghil Madadi, Elnaz Piroozi, Zahra Amini (2022): Assessment and Evaluation of Urban Resilience against Earthquake Risk Using Integration of ANP and OWA Model (Case Study: Germi City), Vol 12, No 46, PP:210-226

**DOI:** [10.30495/JZPM.2022.5381](https://doi.org/10.30495/JZPM.2022.5381)

**\*Corresponding author:** Aghil Madadi

**Address:** professor of Geomorphology, University of Mohaghegh Ardabili, Ardabil, Iran

**Tell:** +989143533026

**Email:** Aghil48madadi@gmail.com

## Extended Abstract

### Introduction

During the last one or two decades, with the increase in crises, the resilience of cities and regions against environmental and human hazards has been given special attention. Also, Germi city, due to its proximity to important faults in the region, being in a high seismic risk zone, the presence of vulnerable and worn out structures, and non-observance of safety principles in constructions, against the ground Earthquake is vulnerable. Therefore, evaluating and measuring the resilience of the city of Germi against an earthquake is considered an important necessity.

### Methodology

According to the purpose of the study, the type of research is applied and based on the descriptive-analytical survey method. Also, among the most prominent tools used in the research are Arc GIS, IDRISI, MATLAB, Super Decisions software, and Excel. The prioritization of the options has been done based on the ANP network analysis technique and the final analysis using the OWA model.

### Results and Discussion

According to the results, the element of building density with a coefficient of 0.155 has the most value and importance for urban resilience against earthquakes, and after that, the distance from the fault with a coefficient of 0.112 is considered an important element.

Mainly, the areas with low resilience are located in dense areas in terms of building density criteria. so the average building density in areas 4, 5, 6, and 2, respectively; is 66.7, 65.1, 56.2, and 62.4 percent. In terms of the factor of distance from the fault, which is the second most important criterion affecting the resilience of Germi city, completely unsuitable areas are located very close to the fault.

### Conclusion

Inadequate resilience with 129.80 hectares (24.17 percent) is the worst state of resilience and in contrast, completely adequate resilience with 62.87 hectares (11.70 percent) is the best state of resilience. It has earthquake resistance. In general, it can be said that the southern, and southwestern parts of the city and parts of the northeastern part of Germi city are in relatively unfavorable conditions in terms of resilience against earthquakes, and in contrast to the Buildings located in the north and northwest parts of this city are in more favorable conditions. According to the measure of resilience according to the final map, the city of Germi is not in a favorable position in terms of resilience against earthquakes and has an average to low status.

شایعه: ۶۷۳۵-۲۲۵۱-۲۴۲۳ - شاپا الکترونیکی:

## مقاله پژوهشی

## سنجهش و ارزیابی تابآوری محیط شهری در برابر خطر زمین‌لرزه با استفاده از تلفیق مدل‌های ANP و OWA (مطالعه موردی: شهر گرمی)

عقیل مددی<sup>۱\*</sup>، الناز پیروزی<sup>۲</sup>، زهرا امینی<sup>۳</sup>

۱. استاد ژئومورفولوژی، دانشگاه محقق اردبیلی، اردبیل، ایران

۲. دکتری ژئومورفولوژی، دانشگاه محقق اردبیلی، اردبیل، ایران

۳. کارشناسی ارشد جغرافیا و برنامه‌ریزی شهری، دانشگاه محقق اردبیلی، اردبیل، ایران

## چکیده

در حال حاضر به دنبال رشد شهرنشینی و افزایش سوانح طبیعی، بررسی و سنجهش تابآوری سیستم‌های انسانی و طبیعی در دستیابی به توسعه پایدار از اهمیت ویژه‌ای برخوردار است. بر این اساس، پژوهش حاضر به دنبال سنجهش و ارزیابی تابآوری محیط شهری گرمی در برابر خطر زمین‌لرزه می‌باشد. در این پژوهش، با در نظر گرفتن ساختارهای طبیعی، کالبدی و دسترسی دخیل در برابر زلزله در قالب ۱۵ شاخص، به ارزیابی تابآوری شهر گرمی در مقابل زلزله پرداخته شده‌است. سپس لایه‌های اطلاعاتی توسط سامانه اطلاعات جغرافیایی تهیه گردید و در مرحله بعد وزن دهی عوامل مورد بررسی با استفاده از فرآیند تحلیل شبکه (ANP) و در محیط نرم افزار Super Decision انجام شد و مدل سازی نهایی، با استفاده از روش میانگین‌گیری وزن‌دار ترتیبی (OWA) انجام گردید. نتایج پژوهش نشان‌دهنده آن است که ۱۱/۷۰ از منطقه مورد مطالعه دارای تابآوری کاملاً مناسب و ۲۴/۱۷ درصد از منطقه از تابآوری کاملاً نامناسبی برخوردار است. تابآوری نامناسب، تابآوری متوسط و تابآوری مناسب به ترتیب با ۲۵ درصد، ۲۵/۸۴ درصد و ۱۳/۲۹ درصد سایر پهنه‌ها را شامل می‌شود. به طور کلی می‌توان گفت که بخش‌های جنوبی، جنوب‌غربی و بخش‌هایی از شمال شرقی شهر گرمی از نظر تابآوری در برابر زلزله در وضعیت نسبتاً نامناسبی قرار داشته و در مقابل واحدهای ساختمانی واقع در بخش‌های شمال و شمال‌غرب این شهر در شرایط مساعدتری قرار دارد. با توجه به نقشه نهایی، شهر گرمی از نظر تابآوری در برابر زلزله در موقعیت مطلوبی قرار ندارد و به نوعی از وضعیت متوسط رو به پایین برخوردار است.

تاریخ دریافت: ۳ خرداد ۱۳۹۹

تاریخ پذیرش: ۴ مهر ۱۳۹۹

شماره صفحات: ۲۲۶-۲۱۰

از دستگاه خود برای اسکن و خواندن  
مقاله به صورت آنلاین استفاده کنید



## واژه‌های کلیدی:

مخاطرات، کالبدی، دسترسی، وزن دهی،

MCDM

استناد: عقیل مددی، الناز پیروزی، زهرا امینی (۱۴۰۱): سنجهش و ارزیابی تابآوری محیط شهری در برابر خطر زمین‌لرزه با استفاده از تلفیق مدل‌های OWA و ANP (مطالعه موردی: شهر گرمی)، فصلنامه برنامه‌ریزی منطقه‌ای، سال ۱۱، شماره ۴۲، مرودشت: صص ۲۱۰-۲۲۶

DOI: 10.30495/JZPM.2022.5381

\* نویسنده مسئول: عقیل مددی

نشانی: استاد ژئومورفولوژی، دانشگاه محقق اردبیلی، اردبیل، ایران

تلفن: ۰۹۱۴۳۵۳۳۰۲۶

پست الکترونیکی: Aghil48madadi@yahoo.com

## مقدمه

گرمی در چه وضعیتی است و مهم‌ترین عوامل موثر در کاهش میزان آسیب‌پذیری و یا افزایش تابآوری شهری در برابر خطر زلزله در این منطقه کدامند؟ همچنین این فرضیه مطرح می‌گردد که به نظر می‌رسد میزان تابآوری شهر گرمی نسبت به خطر زلزله در سطح پایینی قرار دارد و عوامل دخیل در کاهش آسیب‌پذیری و افزایش تابآوری در برابر زلزله در منطقه هدف پژوهش متفاوت است.

### پیشینه تحقیق و مبانی نظری

**تابآوری:** مفهوم تابآوری ریشه در بسیاری از رشته‌ها دارد، از اکولوژی تا علوم اجتماعی، روانشناسی و اقتصاد (Yarveisy et al, 2020: 106810). هیچ اجتماعی از تعریف تابآوری که مورد قبول همه رشته‌های علمی باشد وجود ندارد. واژه تابآوری اغلب به مفهوم "بازگشت به گذشته" به کار می‌رود که از ریشه لاتین Resilion به معنای "برگشت به عقب" گرفته شده است (Klien and Thomala, 2003: 1). اما اغلب، مقاله‌های تابآوری سیستم‌های اکولوژیکی هالینگ (1973) را به عنوان خاستگاه نظریه تابآوری مدرن ذکر می‌کنند. در مطالعات اخیر بر روی تابآوری شهری، تابآوری در ابعاد اجتماعی، اقتصادی، زیرساختی (کالبدی)، نهادی و اکولوژیکی تعریف می‌شود (Shukri Firoozjah, 2018:667). در معنای عام، تابآوری به توانایی محلی برای پاسخ، مقابله و سازگاری با تغییر از طریق اقدام جمعی اشاره دارد و مفهومی چندبعدی است که به عنوان توانایی اجتماع برای مقابله در برابر بحران یا آشفتگی تعریف می‌شود (Malekan et al, 2020:68). به صورت کلی تعریف تابآوری یا "انحطاط‌پذیری" شهری را از چشم‌انداز بحران شهری به توانایی یک منطقه یا نظام شهری جهت مقاومت در برابر سیل گستردگی از شوک و تنش می‌توان تعییر کرد (Yarahmadi et al, 2019:150). مشخصه اصلی تابآوری به عنوان یک ابزار این است که بهترین مقیاس و شیوه مداخله را برای رسیدن به حداکثر سود و صرف حداقل هزینه نشان می‌دهد (Mavedat et al, 2020:120). شهر تابآور ظرفیت عملکرد شهرها را توصیف می‌کند به این ترتیب شهروندانی که در آن زندگی و کار می‌کنند، بدون توجه به روبرو شدن با هر شوک و استرسی بقا و رشد می‌یابند. مفهوم طراحی شهری تابآور را از طرف دیگر می‌توان با نظر گرفتن شهرها به عنوان سیستم‌های پیچیده، که دارای اجزای بهم پیوسته هستند، تعریف کرد. اگر چه اجزای تشکیل‌دهنده شهرها را ساختارهای معماری، جمعیت، تمرکز، سیستم‌های زیرساختی و مرکز تجمع تشکیل می‌دهد، ولی آسیب‌پذیر بودن شهرها را در مقابل سوانح و بلایای طبیعی یا انسانی افزایش می‌دهند

داده‌های جهانی نشان‌دهنده این واقعیت است که مخاطرات در طی دو دهه اخیر، با تکرار زیادی نسبت به گذشته به وقوع پیوسته است و اثرات مخرب زیادی به همراه داشته است (Mohammadi Sarin Dizaj, 2016: 104). از طرفی امروزه شهرنشینی با توجه به سرعت کنترل نشده و سریع آن، به عنوان یکی از عوامل اصلی خطر در نظر گرفته شده است و از آن جایی که شهرها، محل فعالیت‌های متعدد اقتصادی هستند و از نظر جمعیتی هم مترکم می‌باشند، در برابر بلایا بسیار آسیب‌پذیر هستند (Ara Parvin et al, 2016: 21). می‌توان گفت که بلایای طبیعی و اقدامات انسانی، تهدیدهای شهری نامشخص و غیر قابل پیش‌بینی تلقی می‌شوند. بنابراین شهرها برای پیش‌بینی و به حداقل رساندن عواقب و خطرات مرتبط باید سریع تر و مؤثرتر پاسخ دهند (Ribeiro et al, 2019: 1). از طرفی مخاطرات طبیعی موجب می‌شوند تا جوامع، برنامه‌ریزان و مدیران که در تلاش برای شناخت و مدیریت آن‌ها هستند، با بسیاری از مشکلات، مسائل و چالش‌ها مواجه شوند (Gunderson et al, 2010: 323). در طی یک دو دهه اخیر با افزایش بحران‌ها، تابآوری شهرها و مناطق، در مقابل مخاطرات محیطی و انسانی مورد توجه ویژه‌ای قرار گرفته است. اگر چه اجتماعات می‌توانند برخی از پیامدهای مربوط به مخاطرات را پیش‌بینی نمایند، ولیکن بسیاری از اثرات ناشناخته و غیر قابل پیش‌بینی است (Zarghami et al, 2016: 78). لذا تابآوری اجتماعات شهری به عنوان راهکاری جهت برونو رفت از بحران، دارای اهمیت است (Rose et al, 2009: 1). کشور ایران به عنوان یکی از کشورهای حادثه‌خیز دنیا، از لحاظ وقوع زمین‌لرزه (مانند: دماوند، ۱۳۹۹؛ آذری‌بایجان شرقی، ۱۳۹۸؛ سرپل ذهاب، ۱۳۹۷؛ کرمانشاه-ازگله، ۱۳۹۶)، می‌باشد و به موجب وقوع این دست حوادث متحمل خسارات (جانی و مالی) وسیعی شده است (Poorahmad et al, 2009: 1). تا جایی که ۹۰ درصد شهرهای کشور در برابر یک زلزله ۵/۵ ریشتری آسیب‌پذیر گشته‌اند (and Mosayyeb Pour Mohammadi, 2000: 118). شهر گرمی نیز، به دلیل نزدیکی به گسل‌های مهم منطقه (شامل: اظماره پایین، هاچا کندی و همچنین گسل بزرگ دشت مغان)، قرارگیری در پهنه خطر لرزه‌ای بالا، وجود بافت‌های آسیب‌پذیر و فرسوده، رعایت نکردن اصول ایمنی در ساخت و سازها، نبود برنامه و توانمندی‌های عملیاتی لازم برای مدیریت سوانح، در برابر زمین‌لرزه آسیب‌پذیر می‌باشد. لذا ارزیابی و سنجهش تابآوری شهر گرمی در برابر زلزله از ضروریات مهم تلقی می‌شود. با توجه به اهمیت موضوع، این سوال مطرح می‌گردد که میزان تابآوری در شهر

ویژگی‌ها و چالش‌ها و فرصت‌های آن را برجسته کرده‌اند. تابآوری شهری را در پنج بعد طبیعی، اقتصادی، اجتماعی، کالبدی و نهادی تقسیم‌بندی کرده‌اند و به این نتیجه دست یافتند که فقدان یک ابزار و روش مناسب برای ارزیابی تابآوری شهری، به عنوان یک چالش بزرگ برای توسعه مطالعات کل‌نگر در آینده محسوس می‌شود. از زمرة مطالعات انجام شده در رابطه با موضوع تابآوری در برابر زلزله، در کشور ایران نیز می‌توان به موارد زیر اشاره کرد: (Rezaei et al, 2016:609)، در یک کار پژوهشی به سنچش و ارزیابی میزان تابآوری کالبدی اجتماعی شهری در برابر زلزله در محله‌های شهر تهران پرداختند و به این نتیجه رسیدند که محله‌های قیطریه و قلعه مرغی از نظر تابآوری کالبدی در بهترین قرار دارند. (Zarghami et al, 2017:92)، در مقاله‌ای سنچش و ارزیابی میزان تابآوری محله‌های شهری زنجان در برابر زلزله را مورد مطالعه قرار دادند. نتایج تحلیل نشان داد که میزان تابآوری در بخش مرکزی از نظر سه بعد اقتصادی، اجتماعی و مدیریتی مطلوب می‌باشد. (Shakoor et al, 2017: 92)، در پژوهشی با استفاده از مدل TOPSIS به بررسی آسیب‌پذیری سکونتگاه‌های روستایی شهرستان لامرد در مقابل زلزله با استفاده از ۲۲ شاخص پرداختند و به این نتیجه دست یافتند که در سطح شهرستان لامرد ۲ دهستان با ریسک بالا، ۱ دهستان با ریسک متوسط و ۴ دهستان با ریسک پایین قرار دارند. (Maleki and Sheikh al-Islami, 2018:1) به بررسی میزان تابآوری در برابر زلزله در شهرستان الشتر پرداختند و به این نتیجه دست یافتند که شهر الشتر از تابآوری مناسبی از نظر کاربری اراضی نسبت به زلزله برخوردار نیست و همچنین ناحیه یک کمترین میزان تابآوری را در بین ناحیه‌های شهری الشتر دارد. (Jafarizadeh and Alizadeh, 2019:1) ارزیابی تابآوری نهادی جوامع شهری در برابر زلزله در مناطق چهارگانه شهر اردبیل را مورد بررسی قرار دادند و نتایج حاصل از پژوهش، ضریب تابآوری مناطق را به ترتیب از بیشترین به کمترین یک، سه، دو و چهار و نیز میزان احتمال خسارت را از بیشترین به کمترین به ترتیب چهار، دو، یک و سه تعیین نموده‌است.

مورد استفاده در تحقیق مشتمل بر نرم‌افزارهایی است که به تناسب نیاز در فازهای مربوط به ورود داده‌ها، مدیریت و ذخیره‌سازی داده‌ها، استانداردسازی و تعیین وزن معیارها، پردازش و تحلیل داده‌ها و تهیه خروجی‌های مورد نیاز مورد استفاده قرار گرفتند. این نرم‌افزارها عبارتند از: IDRISI، Arc GIS،

Sadra and Islami, 2017:3) آسیب‌پذیری و بالا بردن سطح انعطاف‌پذیری و مقاومت محیط کالبدی شهرها در مقابل بحران‌ها و تنشی‌های ناشی از بروز بلایا و نیز کاهش زمان بازتوانی، همچنین بهبودبخشی و ارتقاء سطح زندگی شهروندان و بهطور کلی، تابآور ساختن شهرها در مقابله با بلایای طبیعی، را می‌توان از جمله مهم‌ترین و تاثیرگذارترین عواملی برشمید که باید در طراحی و برنامه‌ریزی شهرها مورد توجه قرار گیرد (Fallahi and Jalali, 2013:3). در زمینه موضوع خطر زلزله و تابآوری شهری در برابر زلزله مطالعات زیادی انجام شده‌است. از نمونه این مطالعات در خارج از ایران می‌توان به موارد زیر اشاره داشت: (Sen, 2010:5653)، در پژوهشی به ارزیابی تابآوری ساختمان‌های موجود در شهر استانبول در برابر زلزله، با استفاده از مدل فازی پرداخت و به این نتیجه رسید که حدود ۴۹ درصد از ساختمان‌ها در رددهای خطر کاملاً زیاد قرار دارند. (Soofi, 2016:80)، در پژوهشی تابآوری شهری لندن را مورد مطالعه قرار داده است و در این مطالعه از معیارهای راههای ارتباطی، فضای باز، شکل ساختمان‌ها، تراکم ساختمان‌ها استفاده کرده و به این نتیجه دست یافتند که در راستای مدیریت شهری، به تغییر در فرآیند برنامه‌ریزی و طراحی شهری نیاز می‌باشد. (Wang and Pickl, 2017:10649)، در یک کار پژوهشی تحت عنوان، تجزیه و تحلیل تعاریف تابآوری با استفاده از روش توصیفی، تعاریف مختلفی را از تابآوری ارائه دادند و محدودیت‌ها و دامنه‌های کاربردی بودن تعریف را نشان داده و به این نتیجه رسیدند که هنوز یک تحلیل مقایسه‌ای از تعاریف تابآوری وجود ندارد. (Zhang and Li, 2018:141)، در مقاله‌ای به تفاوت بین تابآوری شهری و پایداری شهری پرداختند و به این نتیجه دست یافتند که توسعه منطقی شهری فقط در شرایطی قابل دستیابی است که شهرها هم تابآور و هم پایدار باشند و در نهایت اینکه برنامه‌ریزان شهری، سیاست‌گذاران و محققان قبل از هر نوع تصمیم‌گیری باید با دیدی برابر به مطالعات و مفهوم تابآوری شهری و پایداری شهری توجه کنند. (Ribeiro et al, 2019:1)، در پژوهشی تحت عنوان تابآوری شهری، چهارچوبی مفهومی، به بررسی ادبیات علمی و فنی پیرامون تابآوری شهری پرداخته‌اند و تعاریف، ابعاد، مناطق کاربردی و

## مواد و روش تحقیق

نوع تحقیق با توجه به هدف مطالعه از نوع کاربردی و مبتنی بر روش بررسی توصیفی - تحلیلی می‌باشد. گردآوری اطلاعات و داده‌ها به صورت استادی و کتابخانه‌ای از مطالعات مهندسین مشاور و سازمان‌های مربوطه و همچنین استخراج داده‌ها از نقشه‌های GIS شهر می‌باشد. همچنین از برجسته‌ترین ابزار

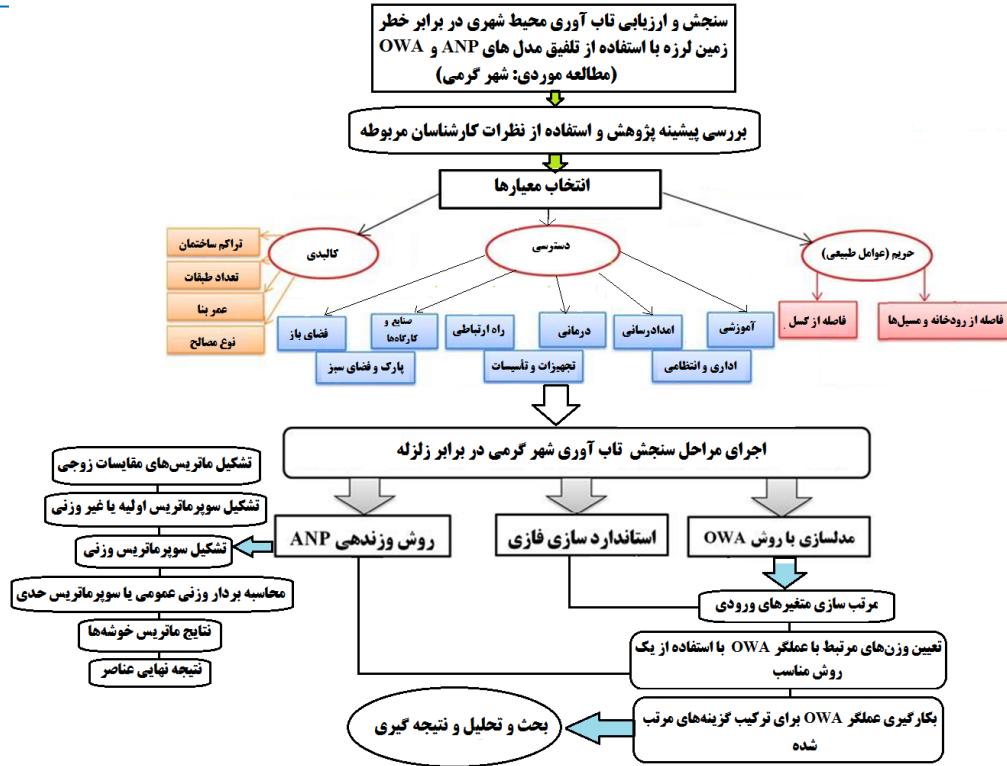
روش OWA ترکیب نسبتاً جدید تصمیم‌گیری چند معیاره (MCDM) است و همانند WLC از فاکتورها که به صورت مقادیر پیوسته‌ای از شایستگی استاندارد شده‌اند و از وزن‌ها که بر اساس اهمیت نسبی فاکتورها نسبت به هم به دست آمداند، استفاده می‌کنند. مزایای روش (OWA) این است که محقق می‌تواند به‌واسطه دوباره مرتب‌سازی و تغییر پارامترهای معیار، دامنه وسیعی از نقش‌ها و پیشنهادهای گوناگون و پیش‌بینی را تولید کند. ترکیب ارزیابی‌ها توسط عملگر OWA به طور کلی شامل ۳ مرحله زیر می‌باشد: ۱- مرتب‌سازی متغیرهای ورودی (جهت مرتب‌سازی داده‌ها در این مطالعه از روش استانداردسازی فازی استفاده شده است). ۲- تعیین وزن‌های مرتب‌بین با عملگر OWA با استفاده از یک روش مناسب (در این مطالعه با استفاده از روش ANP وزن مربوط به هر یک از معیارها تعیین گردیده است). ۳- بکارگیری عملگر OWA برای ترکیب گزینه‌های مرتب شده (برای انجام این کار در نرم افزار ادريسی، از منوی GIS Analysis و قسمت Decision Support و پنجره MCE، با انتخاب گزینه Order Weighted Average روش OWA را انتخاب می‌نماییم و با وارد کردن تعداد معیارها و یادداشت وزن‌های مربوطه نقشه نهایی به دست می‌آید). فلوچارت مربوط به فرآیند پژوهش، در شکل ۱، نمایش داده شده است. معرفی متغیرها و شاخص‌ها: معیارهای مورد نظر در این پژوهش در جدول شماره ۱، آورده شده‌است:

MATLAB، نرم‌افزار Super Decisions و Excel. اولویت-بندي گزینه‌ها بر پایه تکnik تحليل شبکه‌ای ANP و تجزيه و تحليل نهایی با استفاده از مدل OWA، انجام شده است.

odel ANP: روش ANP شکل توسعه یافته‌ای از روش AHP می‌باشد. در مدل AHP، تنها معیارها با معیار بالایی خود ارتباط داشتند، حتی خود معیارها هم به همدیگر وابسته نبودند. ولی در مدل ANP، نه تنها خوش‌ها بر عناصر و عناصر بر گزینه، گزینه بر عناصر تأثیر می‌گذارند، بلکه حتی عناصر بر خودشان و بر دیگر خوش‌ها نیز اثرگذارند. روش دارای مراحل زیر می-باشد: ۱- تعیین معیارها و شاخص‌ها. ۲- تعیین نمودن ارتباط بین عناصر و خوش‌ها: هر شبکه، مجموعه‌ای از خوش‌ها و هر خوش‌های نیز، مجموعه‌ای از عناصر است و میان خوش‌ها و میان عناصر وابستگی وجود دارد. ۳- مقایسات زوجی میان عناصر و خوش‌ها: ماتریس‌های مقایسات زوجی، همانند روش AHP می‌باشد و عناصر تصمیم‌گیری در هر خوش و همچنین خوش‌ها با توجه به اهمیت خود، به منظور شرطهای کنترلی آن‌ها مقایسه می‌گردد. ۴- تشکیل سوپر‌ماتریس‌ها (اولیه یا غیروزنی، وزنی، حدی). ۵- نتایج ماتریس خوش‌ها. ۶- نتیجه نهایی عناصر (Faraji Sabkbar et al, 2010:150).

روش میانگین‌گیری وزن‌دار ترتیبی (OWA): روش OWA که توسط یاگر در سال ۱۹۸۸ ارائه شد، تلفیق یک جمع وزنی با الویت‌بندی معیارهای ارزیابی بوده و علاوه بر وزن معیارها، الویت‌بندی آن‌ها را نیز لحاظ می‌کند و الویت‌بندی وزن‌ها امکان کنترل مستقیم معیارها را فراهم می‌نماید (Mirabadi et al, 2018:41; Aquajani et al, 2012:89).

سنچش و ارزیابی تاب آوری محیط شهری در برابر خطر زمین لرزه با استفاده از تلفیق مدل های ANP و OWA (مطالعه موردی: شهر گرمی)



شکل ۱ - فلوچارت مربوط به فرآیند تحقیق (منبع: مطالعات نویسندهان، ۱۳۹۹)

جدول ۱ - معیارهای طبقه‌بندی شده و تحلیل آن‌ها برای بررسی تاب آوری شهری

مفهوم	معیار	سنچش	تحلیل
حریم	گسل <sup>۱</sup>	هر چه فاصله از گسل بیشتر = تاب آوری بیشتر، آسیب‌پذیری کمتر	
	مسیله، رود دره‌ها <sup>۲</sup>	هر چه فاصله از مسیله بیشتر = تاب آوری بیشتر، آسیب‌پذیری کمتر	
	عمر بنا <sup>۳</sup>	هر چه عمر بنا بیشتر = تاب آوری کمتر، آسیب‌پذیری بیشتر	
کالبدی	تعداد طبقات <sup>۴</sup>	هر چه تعداد طبقات بیشتر = تاب آوری کمتر، آسیب‌پذیری بیشتر	
	نوع مصالح <sup>۵</sup>	هر چه نوع مصالح مقاوم‌تر = تاب آوری بیشتر، آسیب‌پذیری کمتر	
	تراکم ساخته‌مانی <sup>۶</sup>	هر چقدر میزان تراکم بیشتر = تاب آوری کمتر، آسیب‌پذیری بیشتر	
	دسترسی به مراکز درمانی <sup>۷</sup>	فاصله از مراکز درمانی بیشتر = تاب آوری کمتر، آسیب‌پذیری بیشتر	
	دسترسی به مراکز امدادارسانی <sup>۸</sup>	فاصله از مراکز امدادارسانی بیشتر = تاب آوری کمتر، آسیب‌پذیری بیشتر	
	دسترسی به مراکز آموزشی <sup>۹</sup>	هر چه سرانه مراکز آموزشی بیشتر = تاب آوری بیشتر، آسیب‌پذیری کمتر	
	دسترسی به تاسیسات و تجهیزات <sup>۱۰</sup>	فاصله از تاسیسات و تجهیزات شهری بیشتر = تاب آوری بیشتر، آسیب‌پذیری کمتر	
دسترسی‌ها	شهری <sup>۱۱</sup>		
	دسترسی به فضای سبز و پارک‌ها <sup>۱۲</sup>	فاصله از فضای سبز و پارک‌ها بیشتر = تاب آوری کمتر، آسیب‌پذیری بیشتر	
	فاصله از مراکز اداری و انتظامی <sup>۱۳</sup>	فاصله از مراکز اداری و انتظامی بیشتر = تاب آوری کمتر، آسیب‌پذیری بیشتر	
	فاصله از مراکز صنعتی <sup>۱۴</sup>	فاصله از مراکز صنعتی بیشتر = تاب آوری بیشتر، آسیب‌پذیری کمتر	
	فاصله از راه ارتباطی <sup>۱۵</sup>	هر چه محور شریانی تر و مهم‌تر = تاب آوری بیشتر، آسیب‌پذیری کمتر	
	فاصله از فضای باز شهری <sup>۱۶</sup>	هر چه فاصله از فضای باز شهری بیشتر = تاب آوری کمتر، آسیب‌پذیری بیشتر	

منبع: ۱- (Maleki, 2018: 13)-۲- (Moarab et al, 2019: 146-147)-۳- (Zarghami et al, 2017: 84)-۴- (Ahmadi et al, 2018: 13)-۵- (Rezaei et al, 2016: 615)-۶- (Pashapour and Pourakrami, 2018: 99)-۷- (63)

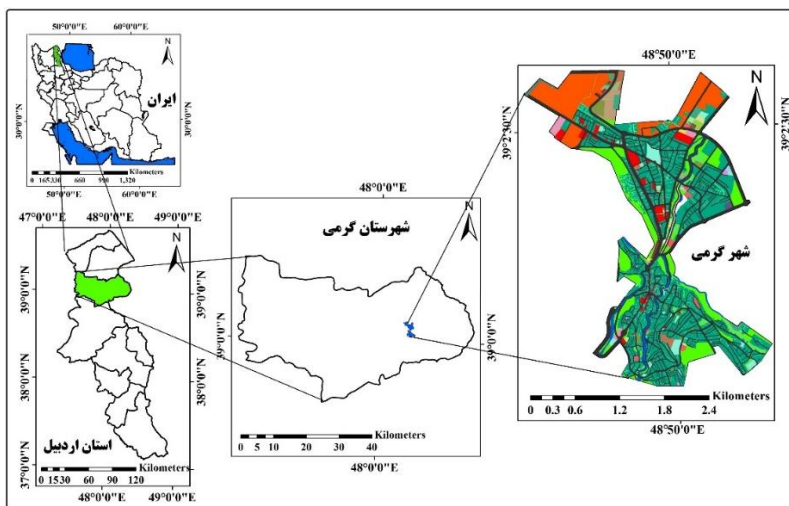
## محدوده مورد مطالعه

شهر گرمی به عنوان مرکز شهرستان گرمی، با وسعت تقریبی ۵۳۷ هکتار و در فاصله‌ای ۱۱۰ کیلومتری از مرکز استان اردبیل،

در مختصات  $38^{\circ}50'$  عرض شمالی و  $47^{\circ}25'$  طول شرقی واقع شده است. این شهر در دره رودخانه گرمی چای و در

محل برخورد چندین شاخه مسیل فرعی با شاخه اصلی آن در ۱۰۰۰ تا ۱۵۰۰ متر آن را محدود می‌سازد (شکل ۲). بر پایه سرشماری عمومی نفوس و مسکن در سال ۱۳۹۵، جمعیت این شهر ۲۸۹۶۷ نفر بوده است.

ارتفاع ۹۰۰ متری از سطح دریا قرار گرفته است. از سمت شمال با کم شدن ارتفاع به جلگه پست و هموار مغان می‌رسد و از سمت جنوب آخرين ارتفاعات کوههای صلوت با قللی به ارتفاع



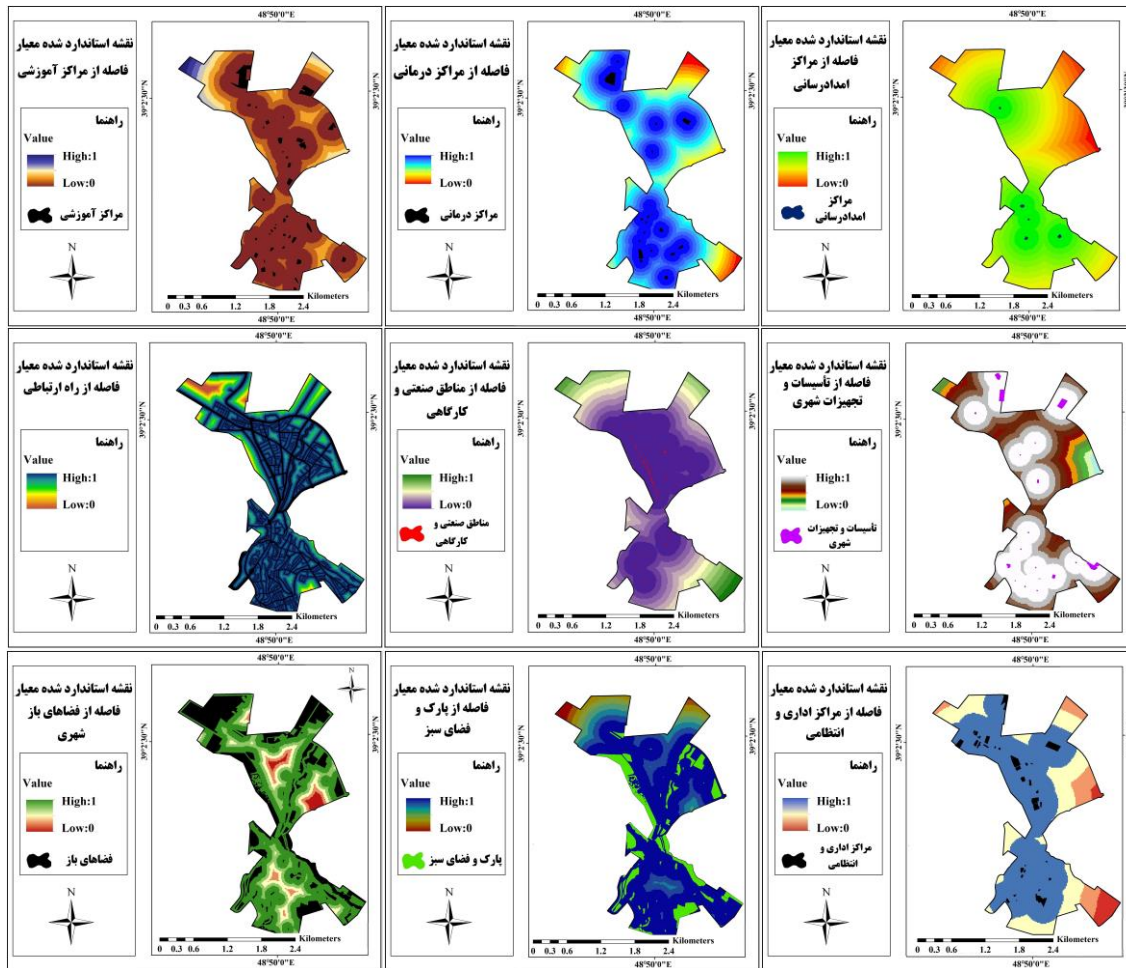
شکل ۲- نقشه موقعیت محدوده مورد مطالعه (منبع: مطالعات نویسندهان، ۱۳۹۹)

## بحث و یافته‌های تحقیق

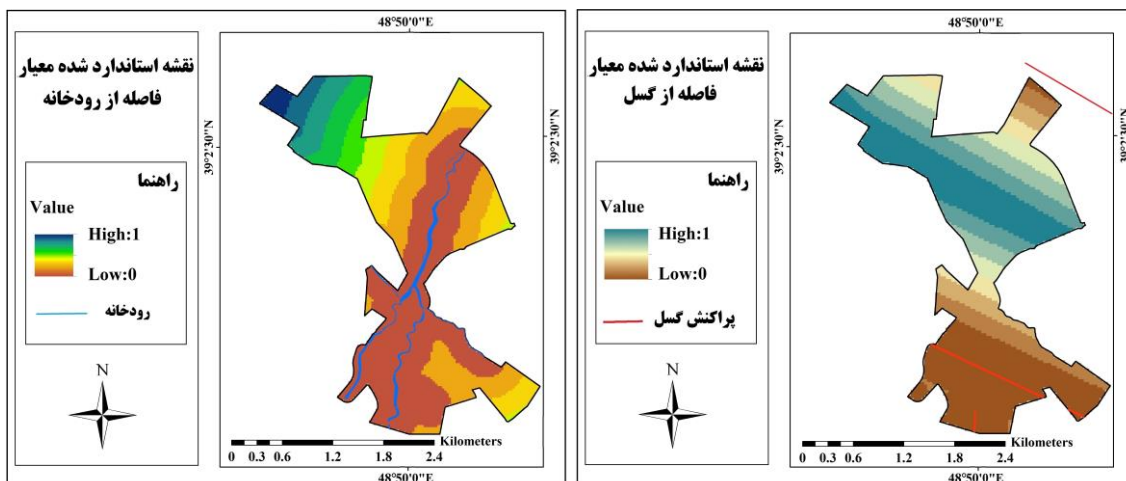
### استانداردسازی لایه‌ها

های اطلاعاتی مورد نیاز در فرآیند تحلیل آماده شدند. از آن جا که در اندازه‌گیری معیارها دامنه متنوعی از مقیاس‌ها مورد استفاده قرار می‌گیرند، لذا لازم است که معیارها قبل از ترکیب با یکدیگر استاندارد گردد ( Salman Mahini et al, 2008: 190). استاندارد نمودن داده‌ها به معنی همسان کردن دامنه تغییرات داده‌ها بین صفر و یک و یا یک دامنه مشخص مانند (۰ الی ۲۵۵) است (Ashour, 2011:131). در این مطالعه، مرحله مربوط به ارزش‌گذاری و استانداردسازی به صورت توأم و بر مبنای ارزش عضویت در مجموعه فازی (بین صفر تا یک) در نظر گرفته شده است و درجه بالای ارزش عضویت یک عنصر به معنای نسبت بالای تعلق آن به مجموعه می‌باشد ( Afroz, 2011: 108)، نقشه‌های استاندارد شده معیارها، در اشکال (۳ تا ۵)، نمایش داده شده است.

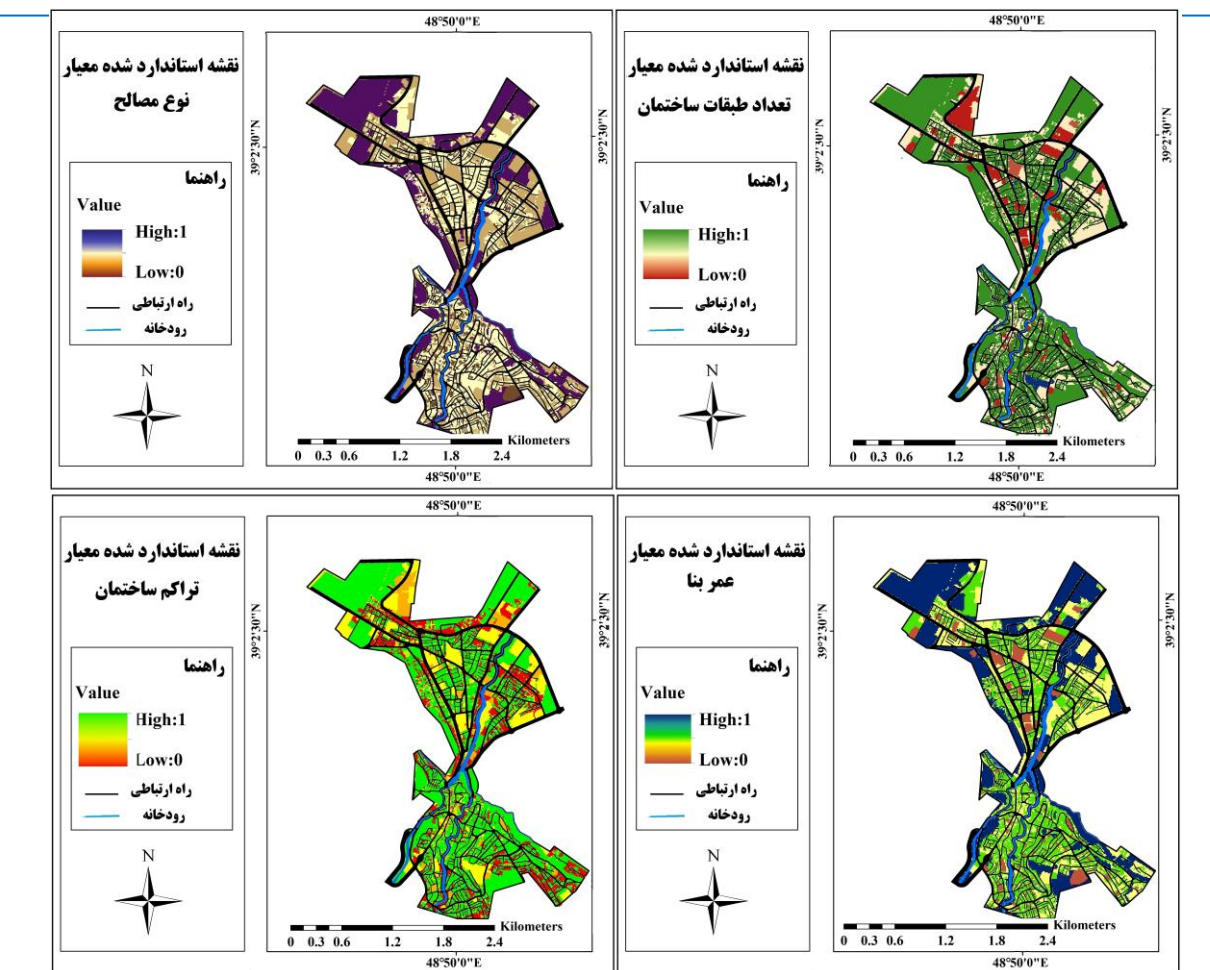
نقشه‌هایی که معرف تغییرات صورت وضعیت و مقادیر معیار در فضای جغرافیایی هستند، تحت عنوان نقشه‌های معیار می‌باشند (Malchefeski, 2006: 15). در این مطالعه ابتدا در محیط GIS، لایه‌های اطلاعاتی مربوط به هر معیار، با رقومی‌سازی تهیه شد. بدین منظور، از نقشه پایه شهر در مقیاس ۱:۱۰۰۰۰ نقشه رقومی شده کاربری‌های شهری در وضعیت موجود و نقشه رقومی شده مراکز آموزشی، بهداشتی- درمانی، امدادرسانی، مراکز اداری- انتظامی، کارگاه‌های صنعتی، تاسیسات و تجهیزات، فضای سبز، شبکه ارتباطی، فضای باز و سایر معیار-های کالبدی مطرح به عنوان مواد پایه استفاده شد و با استخراج لایه‌های اطلاعاتی مربوط به هر یک از معیارهای مطرح در سنچش تاب‌آوری شهری، از روی نقشه‌های رقومی شده، لایه-



شکل ۳- نقشه‌های استاندارد شده معیارهای دسترسی (منبع: مطالعات نویسندهان، ۱۳۹۹)



شکل ۴- نقشه‌های استاندارد شده معیارهای حریم (عوامل طبیعی) (منبع: مطالعات نویسندهان، ۱۳۹۹)



شکل ۵- نقشه‌های استاندارد شده معیارهای کالبدی (منبع: مطالعات نویسندهان، ۱۳۹۹)

باشد می‌توان به داده‌های مقایسات زوجی اعتماد کرد (Dori and Hamzehi, 2010:81) وزن‌های حاصل در سوپرماتریس وارد می‌شوند که رابطه متقابل بین عناصر سیستم را نشان می‌دهند (Faraji Sabkbar et al, 2010:151). سوپرماتریس به دست آمده در این مرحله سوپرماتریس اولیه معرفی می‌شود که شکل (۶)، آن را نشان می‌دهد.

### تشکیل سوپرماتریس اولیه یا غیروزنی

ابتدا وزن نسبی هر ماتریس براساس مقایسه زوجی شبیه روش AHP محاسبه می‌شود. مقادیر اهمیتی، در بازه‌ی اعداد ۱ تا ۹ بیان شده است. عدد ۱ مشخص کننده اهمیت مساوی بین دو عنصر و عدد ۹ مشخص کننده اهمیت فوق العاده بیشتر یک عنصر است (Najafi, 2010:67). در محاسبه نرخ ناسازگاری در ANP نیز، طبق گفته ساعتی: مقدار ناسازگاری اگر کمتر از ۰/۱

### سنجهش و ارزیابی تاب‌آوری محیط شهری در برابر خطر زمین‌لرزه با استفاده از تلفیق مدل‌های OWA و ANP (مطالعه موردی: شهر گرمی)

Cluster Node Labels		حریم (عوامل هیئت)		دسترسی										کالبدی					
		فاضله از رویداده و مسیله	فاضله از گشل	آموزشی	اداری و انتظامی	اقدام	رسانی	تجهیزات و تاسیسات	درجهانی	راز ارتباطی	صنایع و کارگاه	فضای باز	بارک و فضای سبز	تعداد طبقات	ساختن	تعداد طبقات	ساختن	تعداد طبقات	ساختن
دسترسی	حریم (عواین) طبیعی	0.000000	1.000000	0.500000	0.000000	0.000000	0.000000	0.000000	0.500000	0.000000	0.500000	0.000000	0.500000	0.200000	0.200000	0.200000	0.200000	0.200000	0.200000
	فاضله از گشل	1.000000	0.000000	0.500000	0.000000	0.000000	0.000000	0.000000	0.500000	0.000000	0.500000	0.000000	0.500000	0.800000	0.800000	0.800000	0.800000	0.800000	0.800000
	آموزشی	0.077283	0.066748	0.000000	0.000000	0.065153	0.109568	0.111111	0.076923	0.000000	0.090398	0.100000	0.125278	0.090085	0.090574	0.090153			
	اداری و انتظامی	0.050023	0.073679	0.000000	0.000000	0.075351	0.092807	0.111111	0.076923	0.000000	0.099208	0.100000	0.130586	0.090085	0.101345	0.116134			
	اقدام	0.154578	0.125348	0.166667	0.166667	0.000000	0.219137	0.222222	0.153846	0.250000	0.198417	0.200000	0.167913	0.203677	0.202691	0.168474			
	رسانی	0.104250	0.133496	0.166667	0.166667	0.158777	0.000000	0.222222	0.153846	0.250000	0.124745	0.200000	0.127809	0.165726	0.152519	0.168474			
	تجهیزات و تاسیسات	0.152907	0.133496	0.186667	0.166667	0.176103	0.219137	0.000000	0.153846	0.250000	0.198417	0.200000	0.205340	0.180171	0.181148	0.152255			
	درجهانی	0.126419	0.133496	0.166667	0.166667	0.158777	0.234460	0.222222	0.000000	0.250000	0.198417	0.200000	0.140576	0.180171	0.181148	0.164846			
کالبدی	صنایع و کارگاه	0.061920	0.066748	0.000000	0.000000	0.075351	0.124892	0.111111	0.076923	0.000000	0.090398	0.000000	0.102497	0.090085	0.090574	0.139664			
	فضای باز	0.143236	0.133496	0.166667	0.166667	0.150701	0.000000	0.000000	0.153846	0.000000	0.000000	0.000000	0.000000	0.000000	0.000000	0.000000	0.000000	0.000000	0.000000
	بارک و فضای سبز	0.129385	0.133496	0.166667	0.166667	0.139788	0.000000	0.000000	0.153846	0.000000	0.000000	0.000000	0.000000	0.000000	0.000000	0.000000	0.000000	0.000000	0.000000
	ترکم ساختن	0.142857	0.250000	0.250000	0.000000	1.000000	1.000000	1.000000	0.000000	1.000000	1.000000	0.000000	0.000000	0.000000	0.000000	0.000000	0.000000	0.000000	0.000000
کالبدی	تعداد طبقات	0.285714	0.250000	0.250000	0.000000	0.000000	0.000000	0.000000	0.000000	0.000000	0.000000	0.000000	0.000000	0.000000	0.000000	0.000000	0.000000	0.500000	
	عمرها	0.285714	0.250000	0.250000	0.000000	0.000000	0.000000	0.000000	0.000000	0.000000	0.000000	0.000000	0.000000	0.000000	0.000000	0.000000	0.000000	0.500000	
	نوع مصالح	0.285714	0.250000	0.250000	0.000000	0.000000	0.000000	0.000000	0.000000	1.000000	0.000000	0.000000	0.000000	0.000000	1.000000	0.000000	0.000000	0.000000	

شکل ۶- سوپرماتریس غیروزنی یا اولیه‌ی مربوط به مدل (منبع: مطالعات نویسندهان، ۱۳۹۹)

دارند. برای آن که از عناصر ستون متناسب با وزن نسبی‌شان فاکتور گرفته شود و جمع ستون برابر یک شود، هر ستون ماتریس استاندارد می‌شود. در نتیجه ماتریس جدیدی به دست می‌آید که جمع هر یک از ستون‌های آن برابر یک خواهد بود. (شکل ۷).

### تشکیل سوپرماتریس وزنی

در واقع ستون‌های سوپرماتریس از چند بردار ویژه تشکیل می‌شود که جمع هر کدام از بردارها برابر یک است. بنابراین این امکان وجود دارد که جمع هر ستون سوپرماتریس اولیه بیش از یک باشد (متناسب با بردارهای ویژه‌ای که در هر ستون وجود

Cluster Node Labels		حریم (عوامل علیه)		دسترسی										دسترسی				کالبدی			
		فاضله از رویداده و مسیله	فاضله از گشل	آموزشی	اداری و انتظامی	اقدام	رسانی	تجهیزات و تاسیسات	درجهانی	راز ارتباطی	صنایع و کارگاه	فضای باز	بارک و فضای سبز	تعداد طبقات	ساختن	تعداد طبقات	ساختن	تعداد طبقات	ساختن		
دسترسی	حریم (عواین) طبیعی	0.000000	0.209804	0.097900	0.000000	0.000000	0.000000	0.000000	0.097900	0.000000	0.097900	0.000000	0.250000	0.100000	0.066667	0.066667					
	فاضله از گشل	0.209804	0.000000	0.097900	0.000000	0.000000	0.000000	0.000000	0.097900	0.000000	0.097900	0.000000	0.250000	0.400000	0.266667	0.266667					
	آموزشی	0.042500	0.036706	0.000000	0.039972	0.067221	0.068168	0.037953	0.000000	0.044601	0.061351	0.062639	0.045043	0.030191	0.030051						
	اداری و انتظامی	0.027509	0.040518	0.000000	0.046229	0.056938	0.068168	0.037953	0.000000	0.048948	0.061351	0.065293	0.045043	0.033782	0.038711						
	اقدام	0.085007	0.068932	0.082231	0.166667	0.000000	0.134443	0.136336	0.075906	0.153378	0.097896	0.122702	0.083956	0.101838	0.067564	0.056158					
	رسانی	0.057330	0.073413	0.082231	0.166667	0.097411	0.000000	0.136336	0.075906	0.153378	0.061548	0.122702	0.063905	0.082863	0.050840	0.056158					
	تجهیزات و تاسیسات	0.084087	0.073413	0.082231	0.166667	0.108041	0.134443	0.000000	0.075906	0.153378	0.097896	0.122702	0.102670	0.090085	0.060383	0.050752					
	درجهانی	0.069521	0.073413	0.082231	0.166667	0.097411	0.143844	0.136336	0.000000	0.153378	0.097896	0.122702	0.070288	0.090085	0.060383	0.054949					
کالبدی	صنایع و کارگاه	0.034051	0.036706	0.000000	0.046229	0.076623	0.068168	0.037953	0.000000	0.044601	0.000000	0.051249	0.045043	0.030191	0.046555						
	فضای باز	0.078769	0.073413	0.082231	0.166667	0.092457	0.000000	0.000000	0.075906	0.000000	0.000000	0.000000	0.000000	0.000000	0.000000	0.000000	0.000000	0.000000			
	بارک و فضای سبز	0.071152	0.073413	0.082231	0.166667	0.085761	0.000000	0.000000	0.075906	0.000000	0.000000	0.000000	0.000000	0.000000	0.000000	0.000000	0.000000	0.000000			
	ترکم ساختن	0.034324	0.060067	0.077703	0.000000	0.386488	0.386488	0.386488	0.310814	0.000000	0.310814	0.386488	0.000000	0.000000	0.000000	0.000000	0.000000	0.000000			
کالبدی	تعداد طبقات	0.068648	0.060067	0.077703	0.000000	0.000000	0.000000	0.000000	0.000000	0.000000	0.000000	0.000000	0.000000	0.000000	0.000000	0.000000	0.166667				
	عمرها	0.068648	0.060067	0.077703	0.000000	0.000000	0.000000	0.000000	0.000000	0.000000	0.000000	0.000000	0.000000	0.000000	0.000000	0.000000	0.000000	0.000000			
	نوع مصالح	0.068648	0.060067	0.077703	0.000000	0.000000	0.000000	0.000000	0.000000	0.386488	0.000000	0.000000	0.000000	0.000000	0.000000	0.000000	0.000000	0.333333	0.000000		

شکل ۷- سوپرماتریس وزنی مربوط به مدل (منبع: مطالعات نویسندهان، ۱۳۹۹)

دست می‌آید، ماتریس حدّی (شکل ۸)، می‌باشد. در این ماتریس، مقادیر هر سطر آن با هم برابر می‌باشد، ممکن است دو یا چند سوپرماتریس اثر زنجیره‌واری داشته باشد، ممکن است دو یا چند سوپرماتریس داشته باشیم.

### محاسبه بردار وزنی عمومی یا سوپرماتریس حدی

در مرحله‌ی بعد، سوپرماتریس وزنی، به توان حدّی می‌رسد تا عناصر ماتریس همگرا شده و مقادیر سطحی آن با هم برابر شوند. ماتریسی که در نتیجه به توان رسیدن ماتریس وزنی به

Cluster Node Labels		حریم (عوامل طبیعی)		دسترسی						دسترسی			کالبدی			
		فاصله از زوونخانه و مسیله ها	فاصله از گسل	آموزشی	اداری و انتظامی	اهتمام رسانی	تجهیزات و تاسیسات	درهانی	راه ارتباطی	راه ارتباطی	صنایع و کارگاه ها	فضای باز	پارک و فضای سبز	ترانک ساختمان	تعداد طبقات	عمربنا
حریم (عوامل طبیعی)	فاصله از زوونخانه و مسیله ها	0.087039	0.087039	0.087039	0.087039	0.087039	0.087039	0.087039	0.087039	0.087039	0.087039	0.087039	0.087039	0.087039	0.087039	0.087039
	فاصله از گسل	0.102480	0.102480	0.102480	0.102480	0.102480	0.102480	0.102480	0.102480	0.102480	0.102480	0.102480	0.102480	0.102480	0.102480	0.102480
دسترسی	آموزشی	0.043699	0.043699	0.043699	0.043699	0.043699	0.043699	0.043699	0.043699	0.043699	0.043699	0.043699	0.043699	0.043699	0.043699	0.043699
	اداری و انتظامی	0.043558	0.043558	0.043558	0.043558	0.043558	0.043558	0.043558	0.043558	0.043558	0.043558	0.043558	0.043558	0.043558	0.043558	0.043558
	اصداد رساله	0.090413	0.090413	0.090413	0.090413	0.090413	0.090413	0.090413	0.090413	0.090413	0.090413	0.090413	0.090413	0.090413	0.090413	0.090413
	تجهیزات و تاسیسات	0.080766	0.080766	0.080766	0.080766	0.080766	0.080766	0.080766	0.080766	0.080766	0.080766	0.080766	0.080766	0.080766	0.080766	0.080766
	درهانی	0.090734	0.090734	0.090734	0.090734	0.090734	0.090734	0.090734	0.090734	0.090734	0.090734	0.090734	0.090734	0.090734	0.090734	0.090734
	راه ارتباطی	0.089520	0.089520	0.089520	0.089520	0.089520	0.089520	0.089520	0.089520	0.089520	0.089520	0.089520	0.089520	0.089520	0.089520	0.089520
	صنایع د کارگاه ها	0.040597	0.040597	0.040597	0.040597	0.040597	0.040597	0.040597	0.040597	0.040597	0.040597	0.040597	0.040597	0.040597	0.040597	0.040597
	فضای باز	0.040387	0.040387	0.040387	0.040387	0.040387	0.040387	0.040387	0.040387	0.040387	0.040387	0.040387	0.040387	0.040387	0.040387	0.040387
	پارک و فضای سبز	0.039118	0.039118	0.039118	0.039118	0.039118	0.039118	0.039118	0.039118	0.039118	0.039118	0.039118	0.039118	0.039118	0.039118	0.039118
	ترانک ساختمان	0.169260	0.169260	0.169260	0.169260	0.169260	0.169260	0.169260	0.169260	0.169260	0.169260	0.169260	0.169260	0.169260	0.169260	0.169260
	تعداد طبقات	0.021948	0.021948	0.021948	0.021948	0.021948	0.021948	0.021948	0.021948	0.021948	0.021948	0.021948	0.021948	0.021948	0.021948	0.021948
	عمربنا	0.021948	0.021948	0.021948	0.021948	0.021948	0.021948	0.021948	0.021948	0.021948	0.021948	0.021948	0.021948	0.021948	0.021948	0.021948
	نوع مصالح	0.038533	0.038533	0.038533	0.038533	0.038533	0.038533	0.038533	0.038533	0.038533	0.038533	0.038533	0.038533	0.038533	0.038533	0.038533

شکل ۸- سوپر ماتریس حدی مربوط به مدل (منبع: مطالعات نویسندها، ۱۳۹۹)

سوپر ماتریس حدی توسط ضریب خوشها می‌باشد، نتیجه مقایسات زوجی بین گروه‌ها که جدول اوزان گروه‌ها نامیده می‌شود، در شکل شماره ۹، آورده شده است:

نتایج ماتریس خوشها آخرین مرحله برای تعیین ارزش و ضریب نهایی عناصر، محاسبه نتایج ماتریس خوشها و نرمال سازی ضریب عناصر در

Cluster Node Labels	حریم (عوامل طبیعی)	حریم (عوامل طبیعی)	دسترسی	کالبدی
حریم (عوامل طبیعی)	0.209804	0.195800	0.333333	
دسترسی	0.549927	0.493386	0.333333	
کالبدی	0.240268	0.310814	0.333333	

شکل ۹- ماتریس اوزان گروه‌ها (منبع: مطالعات نویسندها، ۱۳۹۹)

تابآوری شهری در برابر زلزله دارد و بعد از آن، فاصله از گسل با ضریب ۰/۱۱۲ و فاصله از مراکز امداد رسانی با ضریب ۰/۰۹۵ عناصر برتر و مهم تلقی می‌شوند. براین اساس شاخص تعداد طبقات ساختمان و عمر بنا با وزن ۰/۰۲۴، کمترین تأثیر را در ارزیابی تابآوری شهری گرمی دارد.

نتیجه نهایی عناصر در مرحله آخر، ضرایب سوپر ماتریس در ضرایب ماتریس خوشها نرمال شده و در نهایت، نتیجه نهایی عناصر و اولویت آن‌ها مشخص گردید (شکل ۱۰). طبق نتایج، عنصر تراکم ساختمانی با ضریب ۰/۱۵۵، بیشترین ارزش و اهمیت را برای

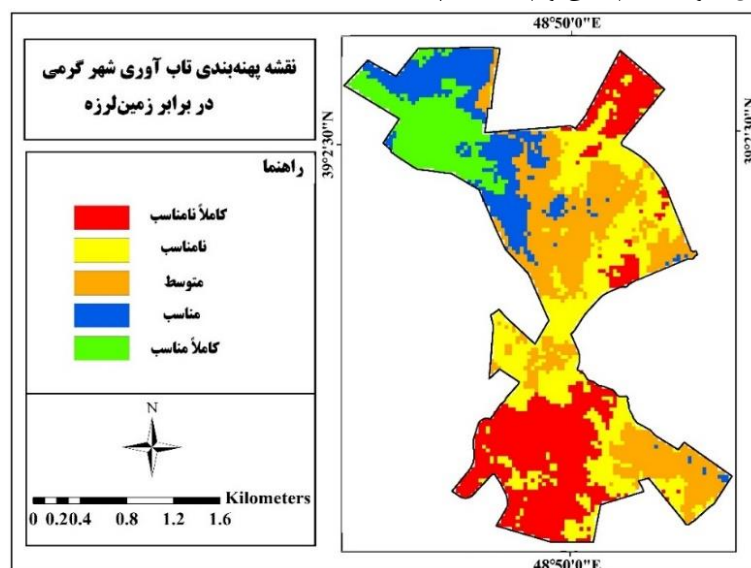
Priorities		
Here are the Experimental priorities for the given criterion. This uses the perturbation method on the supermatrix.		
No Icon	فاصله از رودخانه و مسیل	
No Icon	فاصله از گسل	0.112456
No Icon	آموزشی	0.037760
No Icon	اداری و انتظامی	0.038029
No Icon	اهنگ رسابی	0.095534
No Icon	تجهیزات و تأسیسات	0.085379
No Icon	درهای	0.093510
No Icon	راه ارتباطی	0.094607
No Icon	صنایع و کارگاه‌ها	0.034491
No Icon	ផضای باز	0.037963
No Icon	بارک و ظضای سبز	0.037009
No Icon	ترکم ساختمان	0.155978
No Icon	تعداد طبقات	0.024872
No Icon	تصربنا	0.024872
No Icon	نوع مصالح	0.061749

شکل ۱۰- نتایج نهایی مدل ANP جهت سنجه تابآوری شهری در شهر گرمی (منبع: مطالعات نویسندهان، ۱۳۹۹)

و بخش‌هایی از شمال شرقی شهر گرمی (ناحیه ۲)، از نظر تاب‌آوری در برابر زلزله در وضعیت نسبتاً نامناسبی قرار دارند. به طور عمده، این مناطق از لحاظ معیار تراکم ساختمان، در نواحی پرترکم قرار دارند. به طوری که متوسط تراکم ساختمان در ناحیه ۴، ۵، ۶ و ۷، به ترتیب؛  $۵۶/۱$ ،  $۵۶/۲$ ،  $۵۶/۳$  و  $۵۶/۴$  درصد می‌باشد. از لحاظ عامل فاصله از گسل، که دومین معیار مهم دخیل تابآوری شهر گرمی می‌باشد، مناطق کاملاً نامناسب در فاصله بسیار نزدیک با گسل قرار دارند. همچنین مناطقی که با توجه به خروجی مطالعه، به عنوان نواحی کاملاً نامناسب معرفی شده‌اند، به ویژه بخش جنوبی شهر، در فواصل دور از مراکز امدادرسانی و بهداشتی و درمانی قرار دارند. در مقابل بخش‌های شمال و شمال‌غرب این شهر در شرایط مساعدتری از لحاظ تابآوری قرار دارد.

### تهیه نقشه نهایی تابآوری شهری در برابر زلزله در شهر گرمی

پس از استخراج نقشه‌های هر یک از معیارها و اعمال کردن وزن‌های مربوطه حاصل از روش ANP، نقشه‌های حاصله وارد مدل OWA، شد و با اعمال مرحله مختلف مدل، نقشه نهایی پنهانه‌بندی میزان تابآوری شهر گرمی در برابر زلزله در پنج گروه با اولویت کاملاً مناسب، مناسب، متوسط، نامناسب و کاملاً نامناسب، به دست آمد (شکل ۱۱). مساحت هریک از کلاس‌ها نیز در جدول ۲، ذکر شده است. با توجه به نقشه نهایی تاب‌آوری شهر گرمی در برابر زلزله می‌توان گفت، بخش‌های جنوبی، جنوب‌غربی شهر (ناحیه ۴ و ۵) و بخش‌هایی از ناحیه ۶ شهر، با اراضی پرشیب و کوهستانی به ویژه تا پل موران و تنگ گرمی، با تعدد و تراکم مسیل‌ها و ساخت پلکانی و چند تکه‌ای)



شکل ۱۱- نقشه تابآوری شهر گرمی در برابر زلزله با استفاده از مدل ANP و OWA (منبع: مطالعات نویسندهان، ۱۳۹۹)

جدول ۲- درصد مساحت مربوط به هر یک از طبقات تابآوری (منبع: مطالعات نویسندهان، ۱۳۹۹)

مساحت به درصد	مساحت به هکتار	طبقه	کاملاً نامناسب	نامناسب	متوسط	مناسب	کاملاً مناسب
۲۴/۱۷	۱۲۹/۸۰	مساحت به هکتار	۱۳۴/۲۱	۱۳۸/۷۶	۷۱/۳۶	۶۲/۸۷	کاملاً مناسب
۲۵	۲۵/۸۴	مساحت به درصد	۲۵	۱۳/۲۹	۱۱/۷۰	۶۲/۸۷	کاملاً مناسب

### نتیجه‌گیری و ارائه پیشنهادها

واحدهای ساختمانی واقع در بخش‌های شمال و شمال‌غرب این شهر در شرایط مساعدتری قرار دارد. با توجه به سنجه میزان تابآوری با توجه به نقشه نهایی، شهر گرمی از نظر تابآوری در برابر زلزله در موقعیت مطلوبی قرار ندارد. به نوعی از وضعیت متوسط رو به پایین برخوردار است. در نهایت می‌توان بیان کرد که بافت شهر گرمی با توجه به نقشه نهایی دارای آسیب‌پذیری بالایی است که در صورت وقوع زلزله احتمالی، این منطقه با آسیب‌های بسیار شدید روبرو می‌شود. لذا توجه به تمامی ابعاد تابآوری در این بافت‌ها می‌تواند از شدت این آسیب‌ها کاسته و به عبارتی ساکنان را در مقابل بحران بویژه وقوع زلزله‌های احتمالی انعطاف‌پذیرتر نماید. نتایج کلی پژوهش با نتایج پژوهش‌های Rezaei et al (2016), Soofi (2016), Zhang, X., and H. Li (2018), Ahmadi et al (2018) Moarab et al, Pashapour and Pourakrami (2018) آوری شهری در برابر زلزله با جنبه‌های معینی از معیارهای طبیعی، دسترسی و کالبدی (از جمله تراکم ساختمانی، فاصله از گسل، فاصله از مراکز امدادرسانی، فاصله از راههای ارتباطی و نوع مصالح)، بیشتر در ارتباط هستند؛ هم‌سو می‌باشد. برای افزایش تابآوری در منطقه مورد مطالعه، موارد زیر پیشنهاد می‌شود:

- توجه به بحث مکان‌یابی کاربری‌های مرکز امدادرسانی و بهداشتی-درمانی در بخش جنوب شهر گرمی که با توجه به خروجی مطالعه، به عنوان یکی از عوامل مهم و تاثیرگذار در میزان تابآوری شهری معرفی شده است.

- نوسازی و ارتقای کیفیت اینیه در محدوده‌های آسیب‌پذیر جنوبی، جنوب‌غربی و بخش‌هایی از شمال‌شرقی گرمی.

امروزه به دنبال رشد مداوم جمعیت شهرنشین، افزایش تراکم جمعیت در واحد سطح و همچنین تهدید مخاطرات طبیعی، توجه و تقویت تابآوری شهرها امری اجتناب‌ناپذیر می‌باشد. این پژوهش با هدف سنجه میزان تابآوری شهر گرمی جهت کاهش آسیب‌پذیری در برابر زلزله تدوین شده است. با توجه به محاسبات انجام شده مشخص شد که معیار تراکم ساختمانی با ضریب ۱۵۵/۰، مهم‌ترین شاخص تابآوری و تعداد طبقات ساختمان و عمر بنا موجود محدوده مورد مطالعه با وزن ۰/۲۴ ضعیفترین شاخص تابآوری می‌باشند. لذا مطابق ارزیابی‌های ضریب ۰/۰۱، مهم‌ترین شاخص تابآوری می‌باشد. نتایج که در نقشه شکل شماره ۱۰، نشان داده شده است. همان‌گونه که در نقشه نهایی حاصل از روش تحقیق نشان داده شده است، سطح شهر گرمی را به لحاظ پهنه‌بندی تابآوری شهری در برابر زلزله، به پنج گروه با اولویت کاملاً مناسب، مناسب، متوسط، نامناسب و کاملاً نامناسب طبقه‌بندی شده است و محدوده‌های با رنگ سبز (کلاس ۵) بالاترین اولویت را جهت تابآوری شهر گرمی در برابر زلزله نمایش می‌دهند و با حرکت به سمت کلاس ۱ از کیفیت منطقه جهت تابآوری شهری کاسته می‌شود. تابآوری کاملاً نامناسب با ۱۲۹/۸۰ هکتار (درصد ۳۴/۱۷) بدترین وضعیت میزان تابآوری و در مقابل میزان تابآوری کاملاً مناسب با ۶۲/۸۷ هکتار (درصد ۱۱/۷۰) بهترین وضعیت تابآوری در برابر زلزله را دارد. تابآوری نامناسب، تابآوری متوسط و تابآوری مناسب به ترتیب با ۲۵/۸۴ درصد، ۲۵ درصد و ۱۳/۲۹ درصد سایر پهنه‌ها را شامل می‌شود.

به طور کلی می‌توان گفت که بخش‌های جنوبی، جنوب‌غربی شهر و بخش‌هایی از شمال‌شرقی شهر گرمی از نظر تابآوری در برابر زلزله در وضعیت نسبتاً نامناسبی قرار دارند و در مقابل مقاوماسازی ساختمان‌های موجود روی گسل زلزله و در مرحله

بعدی جلوگیری از ساخت و سازهای غیرمجاز در بخش‌های جنوبی و شمال‌شرقی محدوده مورد مطالعه که در حریم گسل واقع شده‌اند.

- طراحان طرح جامع و تفضیلی در تعیین کاربری‌های شهری برای محدوده گسل‌های اصلی شهر گرمی باید کاربری‌های

جنوبی، جنوب‌غربی و شمال شرقی شهر گرمی که دارای تراکم ساختمانی بسیار بالایی هستند.

کم خطر و کم تراکم نظیر فضای سبز، فضاهای ورزشی و تفریحی پیش‌بینی کنند.

- بالا بردن کیفیت زندگی از طریق مقاوم‌سازی و بهسازی و در صورت نیاز نوسازی طبق قوانین و مقررات در محدوده‌های

### سپاس‌گذاری

از دانشگاه محقق اردبیلی به خاطر حمایت‌ها و مساعدت‌های مالی، کمال تشکر و قدردانی بعمل می‌آید.

## References

- Afroz, B. (2011). Presenting a suitable model in the level of performance management of urban management in the context of entrepreneurship development (Ardabil urban case study), Master's thesis, Geography and Urban and Rural Planning, Supervisor: Ata Ghaffari Gilandeh, Mohaghegh Ardabili University.
- Ahmadi, A., Fathi, S., & Akbari, Ebrahim (2018). Assessment of Urban Resilience against Natural Hazards with an Emphasis on Earthquake and Using Fuzzy Logic and GIS (A Case Study of Urmia City), Journal of Geography and Environmental Hazards. 7 (22), pp. 57 – 73.
- Aquajani, H., Rahnama, M Rahim., & Fattah, M. (2012). Integrating multi-criteria evaluation techniques with geographic information Systems for landfill site selection: A case study using ordered weighted average in Mashhad, Journal of Geography and Environmental Hazards. 1 (3), pp. 87-105.
- Ara Parvin, G., Surjan, A., Rahman, A. & shaw, R. (2016). Urban Risk, City Government, and Resilience. Urban disasters and resilience in Asia, pp. 21- 34.
- Ashour, H. (2011). Investigation and analysis of proportionality and attractions of Amol industrial town in the location of industrial units (small and medium industries), M.Sc. Thesis, Geography and Urban Planning, Supervisor: Ata Ghaffari Gilandeh, Mohaghegh Ardabili University.
- Dori, B., & Hamzeh, E. (2010). Determination of Risk Response Strategy in Risk Management by Technique (ANP); Case study: North Azadegan, North Oilfield Development Project. 2 (4), PP. 92-75.
- Fallahi, AR., & Jalali, T. (2013). Resilient Reconstruction from the Urban Design Point of View, After 2003 Bam Earthquake, MEHARI-VA-SHAHRSAZI (HONAR-HA-YE-ZIBA). 18 (3), pp. 5-16.
- Faraji Sabkbar, H.A., Salmani, M., Fereydoni, F., Karimzadeh, H., & Rahimi, H. (2010). Using analytic network process approach case study: The villages of Quchan country, Spatial planning (Nodares human sciences). 14 (1), pp. 127 -149.
- Gunderson, L.H. (2010). Ecological and human community Resilience in Response to Natural Disasters. Ecology and Society, 15 (2), pp. 1-11.
- Jafarizadeh, R., & Alizadeh, SH. (2019). Evaluation of Institutional Resilience of Urban Societies against Natural Hazards Case Study: Earthquake in Ardabil", 2nd International Conference on Civil Engineering, Architecture and Urban Development Management in Iran. Maragheh University of Technology, pp. 1-13.
- Klien, R.G.N., and F. Thomalla, (2003). Resilience to natural hazard: How useful is this concept. Environmental hazards, 5 (1-2), pp. 35-45.
- Malchefeski, Y. (2006). Geographic Information System and Multi-Criteria Decision Analysis, Translated by Parhizgar, A., Ghaffari Gilandeh. A. First Edition, Samat Publications.
- Malekan, A., khani, F., motiee langroodi, H., and Darban Astaneh, A. (2020). The Impact of Social Capital on Improving Drought Resilience (Case Study: Kangaveh County Villages), journal of Regional Planning. 10 (38), pp. 65-80.
- Maleki, M., & Sheikh al-Islami, A. (2018). Survey of urban areas and the level of resilience against earthquakes and providing solutions in the field of urban uses (case study: Al-Shatr city), Conference on Civil Engineering, Architecture and Urban Planning of the Islamic World. Shahid Madani University of Azerbaijan, pp. 1-11.

- Mavedat, E., garmsiri, P., & momeni, K. (2020). Estimated distribution of urban resilience from the perspective of the earthquake crisis using the Spatial Stats Model (Case Study of Ilam), journal of Regional Planning. 9 (36), pp. 119-134.
- Mirabadi, M., Hashemi, H., & Amini, J. (2018). Applying AHP model and Ordered Weighted Average method in Locating Waste Disposal Site of bookan city by using Arc GIS and IDRISI, Geographic Space. 60 (17), pp. 39 – 54.
- Moarab, Y., Salehi, E., Amiri, M.J., and Balist, J. (2019). Construction of a conceptual model for against disasters using a sustainable development approach, Journal of Environmental Sciences and Technology. 21 (3), pp. 139- 156.
- Mohammadi Sarin Dizaj , M., & Ahadnejad Roshti, M. (2016). The evaluation of the urban fabric resiliency against earthquake risk Case Study: Zanjan, Journal of Spatial Analysis Environmental Hazarts. 3 (1), pp. 103-118.
- Najafi, A. (2010). Structure and Environmental Challenges Analysis in Projects Management Using Analytical International, Journal of Industrial Engineering & Production Management. 21 (1), pp. 63-76.
- Pashapour, H.A., & Pourakrami, M. (2018). Measuring Physical Dimensions of Urban Resilience in The Face of the Natural Disasters (Earthquake) (Case Study: Tehran's 12th District), Journal of Studies of Human Settlements Planning. 41 (12), pp. 985 – 1002.
- Poorahmad, A., Lotfi, S., Faraji, A., & Azimi, A. (2009). Investigation of Dimensions of Earthquake Crisis Prevention (Case Study of Babol City), Journal of Urban and Regional Studies and Research. 1 (1), pp. 1-24.
- Pour Mohammadi, M.R., & Mosayyeb Zadeh, A. (2000). The Vulnerability of Iranian Cities Against Earthquake and the Role of Neighborhood Participation in Providing Assistance for Them, Geography and Development Iranian Journal. 12 (6), pp. 117-144.
- Rezaei, M. (2010). Explaining the resilience of urban communities in order to reduce the effects of natural disasters (earthquakes), (Case study of Tehran metropolis), PhD thesis in Geography and Urban Planning, Supervisor: Ali Asgari, Tarbiat Modares University.
- Rezaei, M.R., Rafieian, M., & Hosseini, M. (2016). assessment of urban Physical resilience against earthquakes Case Study: quarters of Tehran, Human Geography Research Quarterly. 47 (4), pp. 609 – 623.
- Ribeiro P.J.G., Pena L.A., & \ Conclaves, J. (2019). Urban resilience: A conceptual framework. Sustainable cities and society, 50, pp. 1-20.
- Rose, A.Z. (2009). Economic Resilience to disasters. CREATE Research Archive, Final Report to Community and Regional Resilience Institute, pp. 1-40.
- Sadra, S., & Islami, P. (2017). Strategies to increase resilience in the infrastructure of urban worn-out structures Case study of Saghar Sazan neighborhood in Rasht, 4th Conference on Architecture and Urbanism, Sustainability and Resilience from Time to Reality, Islamic Azad University, Qazvin Branch. 4, pp. 1-10.
- Salman Mahini, A., Riazi, B., Naimi, B., Babaei Kafakai, S., & Javadi Larijani, A. (2008). Ecotourism capability assessment of the Behshahr area using mult-criteria evaluation by using GIS, Journal of environmental science and technology. 11 (1), pp.178-189.
- Sen, Z. (2010). Rapid visual earthquake hazard evaluation of existing buildings by fuzzy logic modeling. Expert systems with application, 31(8), pp. 5653- 5660.
- Shakoor, A., Karimi Ghotbabadi, F., & Malekii, M. (2017). Vulnerability risk analysis of rural settlements against earthquakes (Case study: the villages of Lamerd County), journal of Regional Planning. 7 (26), pp. 81-92.
- Shukri Firoozjah, P. (2018). Assess the resilience of cities against natural hazards, Case Study: Babol, Journal of Studies of Human Settlements Planning. 44 (13), pp. 663 – 678.
- Soofi, S.Y. (2016). Achieving Urban Resilience: Through Urban Design and Planning Principles. Master's thesis, Oxford Brookes University. Oxford. UK, pp. 1-93.
- Wang, z., & Pickl S., (2017). Analysis of the definithons of resilience, IFAC- Papers online, 5 (1), pp. 10649- 10657.
- Yarahmadi, M., Nikpour, A., & Lotfi, S. (2019). Evaluating the physical resilience of cities against earthquakes: A case study of Noorabad Mamassani, Geographical Research on Desert Areas. 7 (2), pp. 147-171.
- Yarveisy, R., Gao, Ch., & F. Khn, (2020). A simple yet robust resilience assessment

metrics. reliability Engineering & system safety, 197, pp. 106810- 106827.

Zarghami, S., Teymour, A., Mohammadian, M Hassan., & Shamaei, A (2017). Assessing and evaluating the resilience of urban neighborhoods against earthquakes (central

part of Zanjan city), Journal of Urban Research and Planning. 8 (27), pp. 77-92.

Zhang, X., & H. Li, (2018), Urban Resilience and Urban sustainability: What we know and what do not know? Cities, 72, pp.141- 148.